

# Časové řady I

Ondřej Vencálek  
Univerzita Palackého v Olomouci  
ondrej.vencalek@upol.cz

seminář pro VŠB-TUO  
2015-03-13, Ostrava



EVROPSKÁ UNIE



MINISTERSTVO ŠKOLSTVÍ,  
MLÁDEŽE A TĚLOVÝCHOVY



INVESTICE DO ROZVOJE VZDĚLÁVÁNÍ

# Nové kreativní týmy v prioritách vědeckého bádání

## CZ.1.07/2.3.00/30.0055

---

Tento projekt je spolufinancován z ESF a státního rozpočtu ČR.

# Dekompoziční přístup – o čem bude řeč ...

## ▶ **Trendová složka**

- ▶ Popis trendu matematickými křivkami  
*lineární, kvadratický, exponenciální, modifikovaný exponenciální, logistický, zobecněný logistický trend*
- ▶ Adaptivní přístupy k trendové složce
  - *metoda klouzavých průměrů*
  - *exponenciální vyrovnávání*

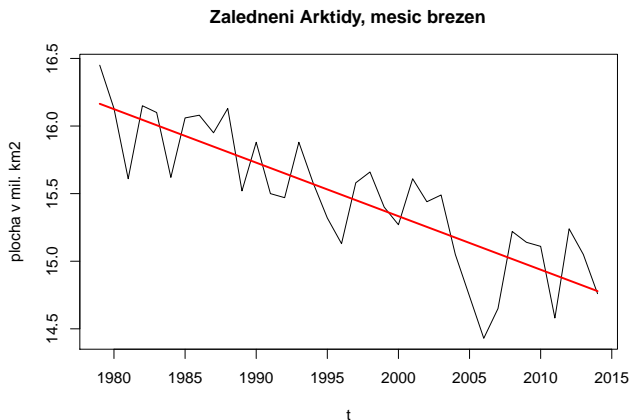
## ▶ **Sezónní složka**

- ▶ Regresní přístup k sezónnosti
- ▶ Holtova-Wintersova metoda

## ▶ **Náhodná složka**

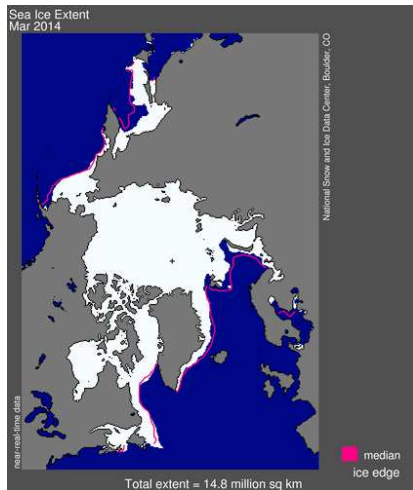
- ▶ Testy náhodnosti

# Lineární trend



$$Tr(t) = \beta_0 + \beta_1 t, \quad \text{pro } t = 1, \dots, n$$

## Příklad – trend zalednění Arktidy – obrázek



## Příklad – trend zalednění Arktidy

Data: Monthly Sea Ice Extent – veřejně přístupná na stránkách National Snow & Ice Data Center <http://nsidc.org/>

[http://nsidc.org/data/docs/noaa/g02135\\_seaice\\_index/#monthly\\_extent\\_image](http://nsidc.org/data/docs/noaa/g02135_seaice_index/#monthly_extent_image)  
[ftp://sidacs.colorado.edu/DATASETS/NOAA/G02135/Mar/N\\_03\\_area.txt](ftp://sidacs.colorado.edu/DATASETS/NOAA/G02135/Mar/N_03_area.txt)

| year | mo | data_type | region | extent | area  |
|------|----|-----------|--------|--------|-------|
| 1979 | 3  | Goddard   | N      | 16.45  | 13.13 |
| 1980 | 3  | Goddard   | N      | 16.13  | 12.92 |
| 1981 | 3  | Goddard   | N      | 15.61  | 12.62 |
| 1982 | 3  | Goddard   | N      | 16.15  | 12.99 |
| 1983 | 3  | Goddard   | N      | 16.10  | 12.84 |
| 1984 | 3  | Goddard   | N      | 15.62  | 12.48 |
| 1985 | 3  | Goddard   | N      | 16.06  | 12.66 |
| 1986 | 3  | Goddard   | N      | 16.08  | 12.65 |
| 1987 | 3  | Goddard   | N      | 15.95  | 12.75 |
| 1988 | 3  | Goddard   | N      | 16.13  | 13.84 |
| 1989 | 3  | Goddard   | N      | 15.52  | 13.14 |
| 1990 | 3  | Goddard   | N      | 15.88  | 13.44 |
| 1991 | 3  | Goddard   | N      | 15.50  | 13.35 |
| 1992 | 3  | Goddard   | N      | 15.47  | 13.41 |
| 1993 | 3  | Goddard   | N      | 15.88  | 13.71 |
| 1994 | 3  | Goddard   | N      | 15.58  | 13.47 |
| 1995 | 3  | Goddard   | N      | 15.32  | 13.28 |
| 1996 | 3  | Goddard   | N      | 15.13  | 12.83 |
| 1997 | 3  | Goddard   | N      | 15.58  | 13.24 |
| 1998 | 3  | Goddard   | N      | 15.66  | 13.50 |
| 1999 | 3  | Goddard   | N      | 15.40  | 13.47 |
| 2000 | 3  | Goddard   | N      | 15.27  | 13.10 |
| 2001 | 3  | Goddard   | N      | 15.61  | 13.57 |
| 2002 | 3  | Goddard   | N      | 15.44  | 13.36 |
| 2003 | 3  | Goddard   | N      | 15.49  | 13.36 |
| 2004 | 3  | Goddard   | N      | 15.05  | 12.93 |
| 2005 | 3  | Goddard   | N      | 14.74  | 12.67 |
| 2006 | 3  | Goddard   | N      | 14.43  | 12.44 |
| 2007 | 3  | Goddard   | N      | 14.65  | 12.49 |
| 2008 | 3  | Goddard   | N      | 15.22  | 13.20 |
| 2009 | 3  | Goddard   | N      | 15.14  | 13.08 |
| 2010 | 3  | Goddard   | N      | 15.11  | 13.19 |
| 2011 | 3  | Goddard   | N      | 14.58  | 12.48 |
| 2012 | 3  | Goddard   | N      | 15.24  | 13.08 |
| 2013 | 3  | Goddard   | N      | 15.05  | 13.10 |
| 2014 | 3  | NRTSI-G   | N      | 14.76  | 12.52 |

## Lineární trend – trocha teorie

$$Y(t) = Tr(t) + E(t), \quad \text{pro } t = 1, \dots, n$$

$$Tr(t) = \beta_0 + \beta_1 t$$

$$E(t) \sim N(0, \sigma^2), \text{ nezávislé}$$

Odhad (vektorového) parametru  $\beta = (\beta_0, \beta_1)'$  metodou nejmenších čtverců, tj. minimalizujeme  $\sum_{t=1}^n (Y(t) - (\beta_0 + \beta_1 t))^2$

$$\mathbf{x} = \begin{pmatrix} 1 & 1 \\ 1 & 2 \\ \vdots & \vdots \\ 1 & n \end{pmatrix}$$

$$\mathbf{b} = (\mathbf{X}'\mathbf{X})^{-1}\mathbf{X}'\mathbf{Y},$$

$$s^2 = \frac{1}{n-2} \sum_{t=1}^n (Y(t) - b_0 - b_1 t)^2$$

Vlastnosti odhadu:

- ▶  $E\mathbf{b} = \beta$
- ▶  $Var\mathbf{b} = \sigma^2(\mathbf{X}'\mathbf{X})^{-1}$
- ▶  $\mathbf{b}$  má normální rozdělení



## Predikce hodnoty $Y(T)$

- ▶ Bodový odhad:

$$Y(T) = Tr(T) + E(T) = \beta_0 + \beta_1 T + E(T)$$

$$\widehat{Y}(T) = \widehat{Tr}(T) + \widehat{E}(T)$$

$$\widehat{Y}(T) = b_0 + b_1 T$$

- ▶ Intervalový odhad:

$$Y(T) - (b_0 + b_1 T) = (\beta_0 + \beta_1 T + E(T)) - (b_0 + b_1 T) \sim N(0, \sigma^2 + (1, T) \text{Var}(\mathbf{b})(1, T)')$$

$$b_0 + b_1 T \pm t_{n-2} \left(1 - \frac{\alpha}{2}\right) s \sqrt{1 + (1, T)(\mathbf{X}'\mathbf{X})^{-1}(1, T)'},$$

kde  $t_{n-2} \left(1 - \frac{\alpha}{2}\right)$  je  $\left(1 - \frac{\alpha}{2}\right)$ -kvantil Studentova rozdělení o  $n - 2$  stupních volnosti (viz následující poznámka).

## Připomenutí: pojem *kvantil*

(pro spojitá rozdělení)

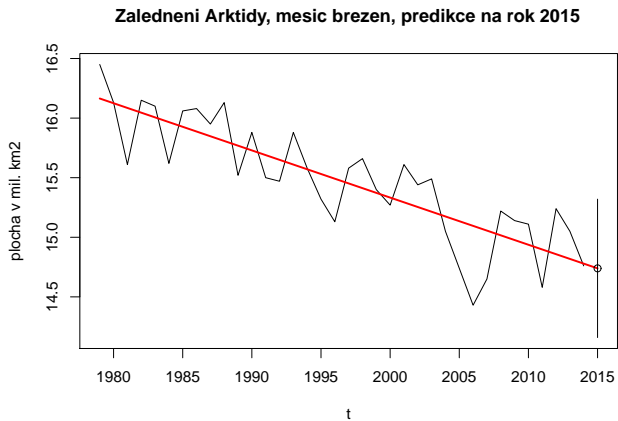
Máme dáno

- ▶ rozdělení náhodné veličiny  $X$   
(např. Studentovo rozdělení o 34 stupních volnosti)
- ▶  $\alpha \in (0, 1)$

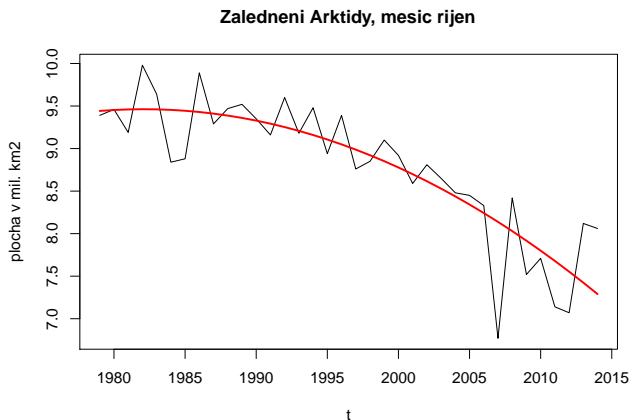
Ptáme se, pro jaké  $x$  platí  $P(X < x) = \alpha$ .

Tuto hodnotu nazýváme  $\alpha$ -kvantilem daného rozdělení.

# Lineární trend: predikce

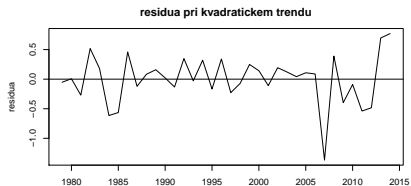
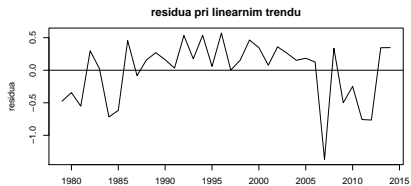
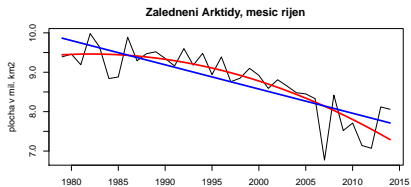


# Kvadratický trend



$$Tr(t) = \beta_0 + \beta_1 t + \beta_2 t^2, \quad \text{pro } t = 1, \dots, n$$

# Lineární nebo kvadratický trend?



## Lineární nebo kvadratický trend?

$$Tr(t) = \beta_0 + \beta_1 t + \beta_2 t^2,$$

Testujeme hypotézu  $H: \beta_2 = 0$  (proti oboustranné alternativě)

```
> model2 = lm(y~t+I(t^2))
```

```
> summary(model2)
```

```
...
```

Coefficients:

|             | Estimate   | Std. Error | t value | Pr(> t ) |    |
|-------------|------------|------------|---------|----------|----|
| (Intercept) | -8.366e+03 | 2.872e+03  | -2.913  | 0.00638  | ** |
| t           | 8.451e+00  | 2.877e+00  | 2.937   | 0.00599  | ** |
| I(t^2)      | -2.132e-03 | 7.205e-04  | -2.959  | 0.00567  | ** |

$P - value = 0.00567 < 0.05$ , tedy zamítáme hypotézu nulovosti parametru  $\beta_2$ , volíme kvadratický trend.

## Kvadratický trend – trocha teorie

$$Y(t) = Tr(t) + E(t), \quad \text{pro } t = 1, \dots, n$$

$$Tr(t) = \beta_0 + \beta_1 t + \beta_2 t^2$$

$$E(t) \sim N(0, \sigma^2), \text{ nezávislé}$$

Odhad (vektorového) parametru  $\beta = (\beta_0, \beta_1, \beta_2)'$  metodou nejmenších čtverců, tj. minimalizujeme

$$\sum_{t=1}^n (Y(t) - (\beta_0 + \beta_1 t + \beta_2 t^2))^2$$

$$\mathbf{x} = \begin{pmatrix} 1 & 1 & 1 \\ 1 & 2 & 4 \\ \vdots & \vdots & \vdots \\ 1 & n & n^2 \end{pmatrix}$$

$$\mathbf{b} = (\mathbf{X}'\mathbf{X})^{-1}\mathbf{X}'\mathbf{Y},$$

$$s^2 = \frac{1}{n-3} \sum_{t=1}^n (Y(t) - b_0 - b_1 t - b_2 t^2)^2$$

Vlastnosti odhadu:

- ▶  $E\mathbf{b} = \beta$
- ▶  $\text{Var}\mathbf{b} = \sigma^2(\mathbf{X}'\mathbf{X})^{-1}$
- ▶  $\mathbf{b}$  má normální rozdělení

## Predikce hodnoty $Y(T)$

- ▶ Bodový odhad:

$$Y(T) = Tr(T) + E(T) = \beta_0 + \beta_1 T + \beta_2 T^2 + E(T)$$

$$\widehat{Y}(T) = \widehat{Tr}(T) + \widehat{E}(T)$$

$$\widehat{Y}(T) = b_0 + b_1 T + b_2 T^2$$

- ▶ Intervalový odhad:  $Y(T) - (b_0 + b_1 T + b_2 T^2) \sim N(0, \sigma^2 + (1, T, T^2) \text{Var}(\mathbf{b})(1, T, T^2)')$

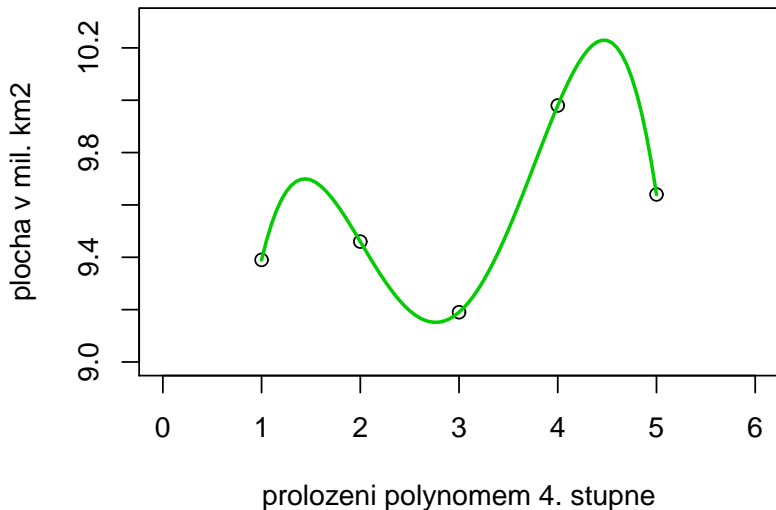
$$b_0 + b_1 T + b_2 T^2 \pm t_{n-3} \left(1 - \frac{\alpha}{2}\right) s \sqrt{1 + (1, T, T^2)(\mathbf{X}'\mathbf{X})^{-1}(1, T, T^2)'},$$

kde  $t_{n-3} \left(1 - \frac{\alpha}{2}\right)$  je  $(1 - \frac{\alpha}{2})$ -kvantil Studentova rozdělení o  $n - 3$  stupních volnosti.



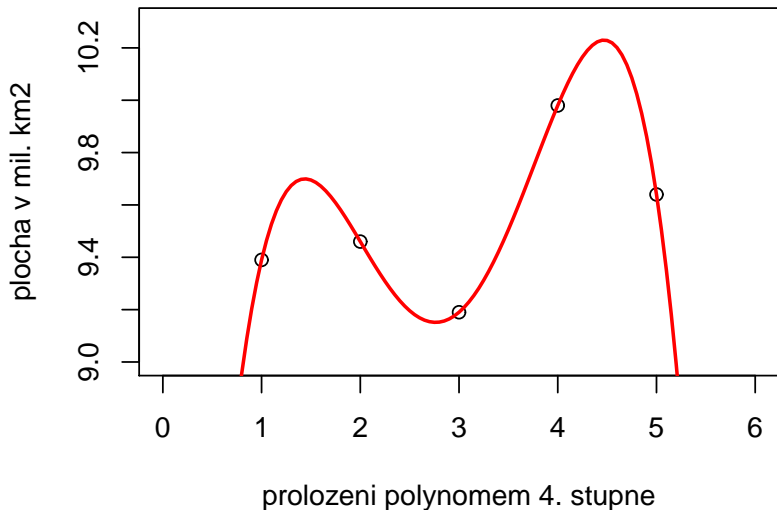
## Varování před polynomy vyššího stupně

### Zalednění Arktidy, mesic rijen, roky 1979–1984



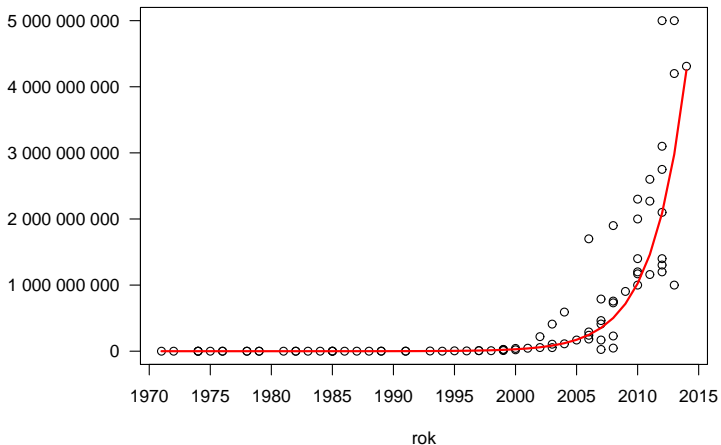
## Varování před polynomy vyššího stupně

### Zalednění Arktidy, mesic rijen, roky 1979–1984



# Exponenciální trend

Pocet tranzistoru v mikroprocesorech



$$Tr(t) = \alpha \cdot \beta^t, \quad \text{pro } t = 1, \dots, n$$

## Exponenciální trend – příklad (Mooreův zákon)

Mooreův zákon je empirické pravidlo, které roku 1965 vyslovil chemik a spoluzakladatel firmy Intel Gordon Moore. Původní znění bylo: „*počet tranzistorů, které mohou být umístěny na integrovaný obvod se při zachování stejné ceny zhruba každých 18 měsíců zdvojnásobí.*“ Takovýto růst se nazývá exponenciální.

Složitost dnešních procesorů se poměřuje především počtem tranzistorů v nich zapojených. Rychlost růstu počtu tranzistorů na plošné jednotce se časem zpomalila a nyní se jejich **počet zdvojnásobuje přibližně jednou za dva roky.**

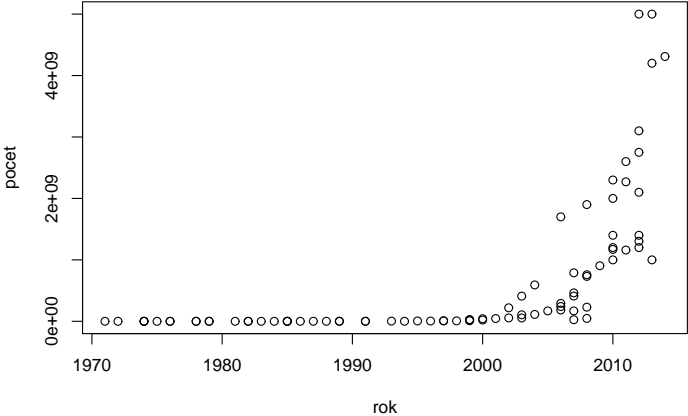
[http://cs.wikipedia.org/wiki/Mooreův\\_zákon](http://cs.wikipedia.org/wiki/Mooreův_zákon)

## Mooreův zákon – data

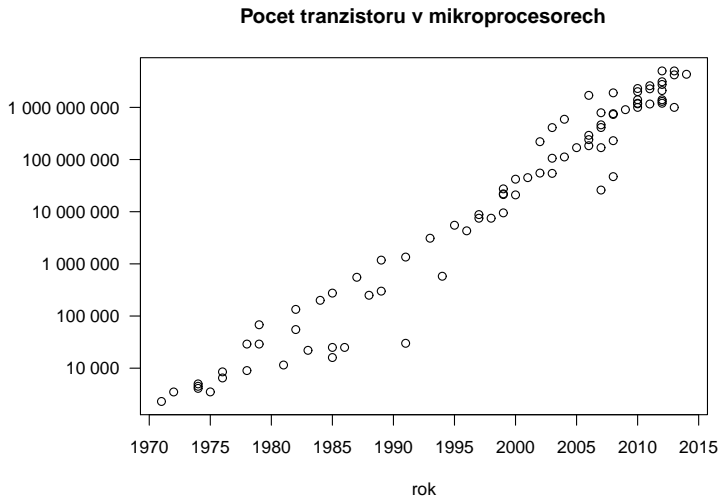
|    | Processor                  | Transistor.count | Date.of.introduct. |
|----|----------------------------|------------------|--------------------|
| 1  | Intel 4004                 | 2300             | 1971               |
| 2  | Intel 8008                 | 3500             | 1972               |
| 3  | MOS Technology 6502        | 3510.00          | 1975               |
| 4  | Motorola 6800              | 4100             | 1974               |
| 5  | Intel 8080                 | 4500             | 1974               |
| 6  | RCA 1802                   | 5000             | 1974               |
| 7  | Intel 8085                 | 6500             | 1976               |
| 8  | Zilog Z80                  | 8500             | 1976               |
| 9  | Motorola 6809              | 9000             | 1978               |
| 10 | Intel 8086                 | 29000            | 1978               |
| ⋮  | ⋮                          | ⋮                | ⋮                  |
| 80 | 12-core POWER8             | 4200000000       | 2013               |
| 81 | 15-core Xeon Ivy Bridge-EX | 4310000000       | 2014               |
| 82 | 62-core Xeon Phi           | 5000000000       | 2012               |
| 83 | Apple A7 (“mobile SoC”)    | 1000000000       | 2013               |
| 84 | Xbox One main SoC          | 5000000000       | 2013               |

# Graf I

## Pocet tranzistoru v mikroprocesorech



## Graf II – po logaritmické transformaci



# Exponenciální trend

$$\begin{aligned}Tr(t) &= \alpha \cdot \beta^t \\ \log(Tr(t)) &= \log(\alpha) + t \log(\beta) \\ \log(Tr(t)) &= \alpha_0 + t\beta_0\end{aligned}$$

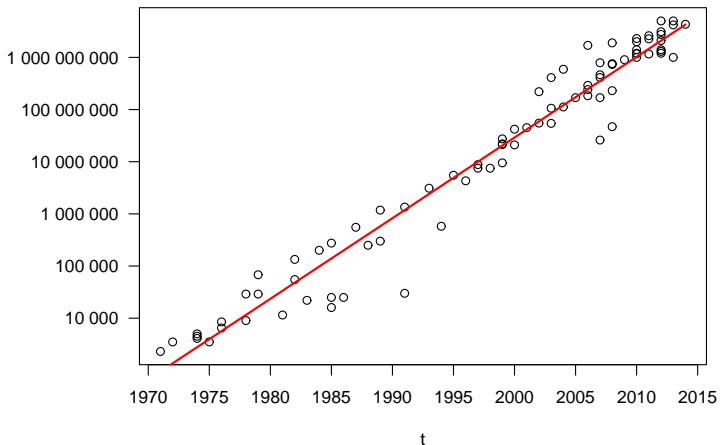
Při označení

- ▶  $\alpha_0 := \log(\alpha)$ ,
- ▶  $\beta_0 := \log(\beta)$ .



# Lineární chování logaritmované veličiny

Pocet tranzistoru v mikroprocesorech



## Jaký logaritmus mám použít? (To je jedno!)

$$\log_2(Tr(t)) = \alpha_0 + \beta_0 t$$

$$: \log_{10} 2$$

$$\log_{10}(Tr(t)) = \alpha_0^* + \beta_0^* t$$

$$: \ln 10$$

$$\ln(Tr(t)) = \alpha_0^{**} + \beta_0^{**} t$$

# Odlogaritmování

- ▶ Při použití logaritmu o základu 2:

$$\begin{aligned}\log_2(Tr(t)) &= \alpha_0 + \beta_0 t \\ Tr(t) &= 2^{\alpha_0 + \beta_0 t} = 2^{\alpha_0} \cdot (2^{\beta_0})^t = \alpha \cdot \beta^t \\ \text{tedy} \quad &\alpha = 2^{\alpha_0}, \beta = 2^{\beta_0}\end{aligned}$$

- ▶ Při použití logaritmu o základu 10:

$$\begin{aligned}\log_{10}(Tr(t)) &= \alpha_0^* + \beta_0^* t \\ Tr(t) &= 10^{\alpha_0^* + \beta_0^* t} = 10^{\alpha_0^*} \cdot (10^{\beta_0^*})^t = \alpha \cdot \beta^t \\ \text{tedy} \quad &\alpha = 10^{\alpha_0^*}, \beta = 10^{\beta_0^*}\end{aligned}$$

- ▶ Při použití logaritmu o základu e:

$$\begin{aligned}\ln(Tr(t)) &= \alpha_0^{**} + \beta_0^{**} t \\ Tr(t) &= e^{\alpha_0^{**} + \beta_0^{**} t} = e^{\alpha_0^{**}} \cdot (e^{\beta_0^{**}})^t = \alpha \cdot \beta^t \\ \text{tedy} \quad &\alpha = e^{\alpha_0^{**}}, \beta = e^{\beta_0^{**}}\end{aligned}$$

## Význam parametru $\beta$

$$\begin{aligned}Tr(t) &= \alpha \cdot \beta^t \\Tr(t + 1) &= \alpha \cdot \beta^{t+1} \\ \frac{Tr(t + 1)}{Tr(t)} &= \frac{\alpha \cdot \beta^{t+1}}{\alpha \cdot \beta^t} = \beta\end{aligned}$$

Hodnota sledované veličiny se za jednotku času  $\beta$ -násobí.  
(podíl je konstantní v čase – tempo růstu je stálé)

## Za jak dlouho se počet tranzistorů zdvojnásobí?

Hledáme takovou hodnotu  $\Delta$ , pro kterou platí

$$\frac{Tr(t + \Delta)}{Tr(t)} = 2$$

Upravme

$$\frac{Tr(t + \Delta)}{Tr(t)} = \frac{\alpha\beta^{t+\Delta}}{\alpha\beta^t} = \beta^\Delta = 2$$

Řešme (logaritmováním)

$$\Delta \log_2 \beta = 1$$

Odtud

$$\Delta = 1 / \log_2 \beta$$

# Exponenciální růst počtu tranzistorů v mikroprocesorech

$$Tr(t) = 668,5 \cdot 1,428^t,$$

kde za  $t$  dosazujeme  $1, \dots, 44$  pro roky  $1971, \dots, 2014$ .

$$\Delta = 1,95$$

Naše analýza potvrzuje zdvojnásobení počtu tranzistorů za dobu přibližně 2 let.

## Omezení modelu

Dne 13. září 1995 Gordon Moore v rozhovoru uvedl, že toto (jeho) pravidlo nemůže fungovat v neomezeném měřítku: „*Tak to nemůže pokračovat napořád. Povaha exponenciál je taková, že je tlačíme mimo limity a následně nastane pohroma*“. Také poznamenal, že tranzistory eventuálně dosáhnou limitu miniaturizace (zmenšování) na atomární úrovni ...

[http://cs.wikipedia.org/wiki/Mooreův\\_zákon](http://cs.wikipedia.org/wiki/Mooreův_zákon)

# Exponenciální růst – šachová legenda

Sissa ben Dahir

$$1 + 2 + 4 + 8 + \dots$$

$$1 + 2^1 + 2^2 + 2^3 + \dots + 2^{63} = 2^{64} - 1 \doteq 18\,000\,000\,000\,000\,000\,000$$



# Exponenciální růst – šachová legenda

Sissa ben Dahir

$$1 + 2 + 4 + 8 + \dots$$

$$1 + 2^1 + 2^2 + 2^3 + \dots + 2^{63} = 2^{64} - 1 \doteq 18\,000\,000\,000\,000\,000\,000$$

# Poznámka k odhadu parametrů

Místo minimalizace výrazu

$$\sum_t (\log y_t - \log \alpha - t \log \beta)^2$$

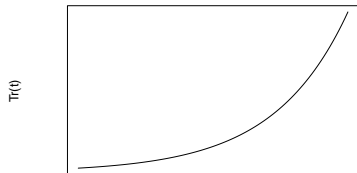
se někdy doporučuje uvažovat metodu nejmenších vážených čtverců, tj. minimalizujeme

$$\sum_t w_t (\log y_t - \log \alpha - t \log \beta)^2$$

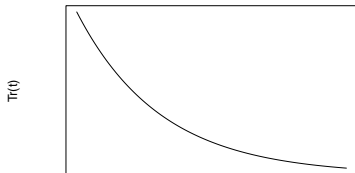
Typicky se volí  $w_t = y_t^2$ .

$$\alpha > 0, \beta > 1 \dots$$

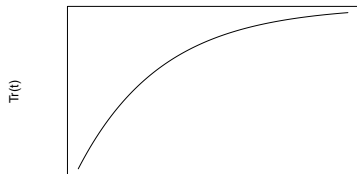
**a > 0, b > 1**



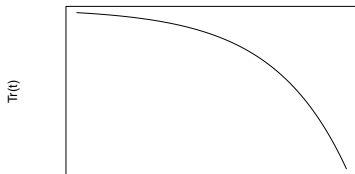
**a > 0, 0 < b < 1**



**a < 0, 0 < b < 1**

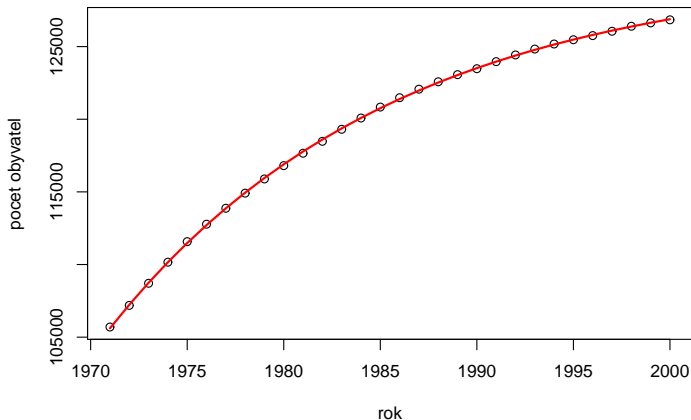


**a < 0, b > 1**



# Modifikovaný exponenciální trend

Pocet obyvatel Japonska 1971–2000



$$Tr(t) = \gamma + \alpha \cdot \beta^t, \quad \text{pro } t = 1, \dots, n$$

# Odhad parametrů

Logaritmování nám nepomůže.

Možná řešení:

- ▶ metoda postupných součtů
- ▶ metoda vybraných bodů
- ▶ metody nelineární regrese (doporučeno, R-ko: `nls()`)
- ▶ ...

## Metoda postupných součtů

Rozdělíme řadu na tři stejně dlouhé úseky délky  $m$  (pokud počet pozorování není dělitelný třemi, jedno nebo dvě první vynecháme)

$$\begin{aligned}\sum_{t=1}^m y_t &\sim \sum_{t=1}^m Tr(t) = (\gamma + \alpha\beta^1) + (\gamma + \alpha\beta^2) + \dots + (\gamma + \alpha\beta^m) = \\ &= \sum_{t=1}^m (\gamma + \alpha\beta^t) = m\gamma + \alpha \sum_{t=1}^m \beta^t = m\gamma + \alpha \frac{\beta(\beta^m - 1)}{\beta - 1}\end{aligned}$$

Podobně

$$\begin{aligned}\sum_{t=m+1}^{2m} y_t &\sim m\gamma + \alpha \frac{\beta^{m+1}(\beta^m - 1)}{\beta - 1} \\ \sum_{t=2m+1}^{3m} y_t &\sim m\gamma + \alpha \frac{\beta^{2m+1}(\beta^m - 1)}{\beta - 1}\end{aligned}$$

## Metoda postupných součtů

$$\hat{\beta} = \left( \frac{\sum_3 y_t - \sum_2 y_t}{\sum_2 y_t - \sum_1 y_t} \right)^{1/m}$$

$$\hat{\alpha} = \frac{\hat{\beta} - 1}{\hat{\beta}(\hat{\beta}^m - 1)^2} \left( \sum_2 y_t - \sum_1 y_t \right)$$

$$\hat{\gamma} = \frac{1}{m} \left[ \sum_1 y_t - \hat{\alpha} \hat{\beta} (\hat{\beta}^m - 1) / (\hat{\beta} - 1) \right]$$

# Nelineární regrese - metoda nejmenších vážených čtverců

R: `nls()`

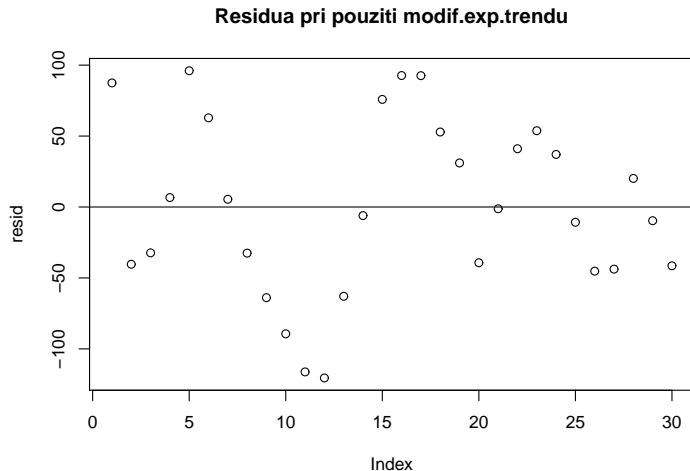
Nutno zadat počáteční odhady parametrů.

K jejich získání využijeme interpretace parametrů:

- ▶  $\gamma = \lim_{t \rightarrow \infty} \gamma + \alpha \beta^t = \lim_{t \rightarrow \infty} Tr(t)$  neboť  $(0 < \beta < 1)$
- ▶  $\alpha = \gamma - Tr(0)$
- ▶  $\beta$  : průměrný podíl  $\frac{Tr(t+1) - \gamma}{Tr(t) - \gamma}$



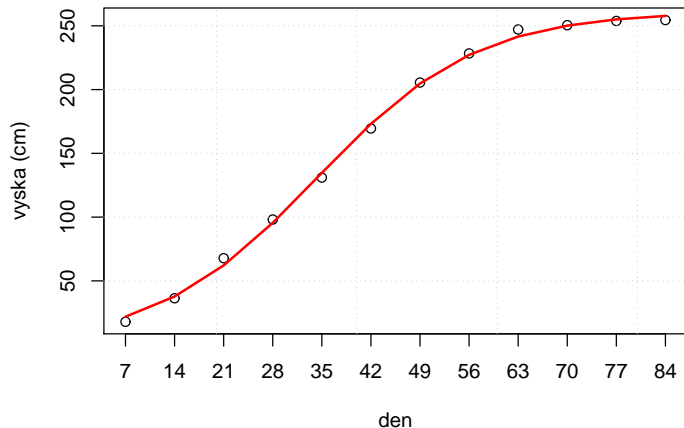
# Residua



cyklická složka (proměnlivé délky i amplitudy)

# Logistický trend

Růst slunecnice



$$Tr(t) = \frac{\alpha}{1 + e^{-\gamma(t-\delta)}}, \quad \text{pro } t = 1, \dots, n$$

## Logistický trend – další možné parametrizace

$$Tr(t) = \frac{\alpha}{1 + e^{-\gamma(t-\delta)}}$$

$$Tr(t) = \frac{\alpha}{1 + e^{\delta^* + \gamma^* t}}$$

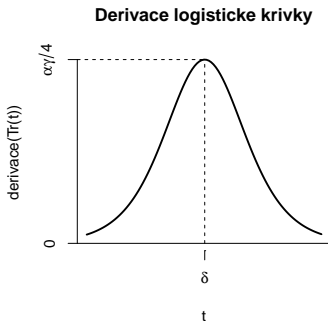
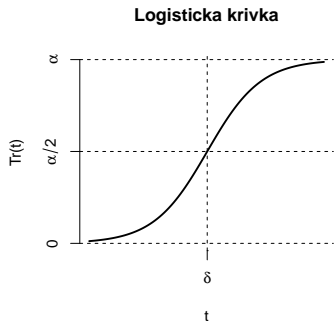
$$Tr(t) = \frac{\alpha}{1 + \delta^{**} e^{\gamma^* t}}$$

$$Tr(t) = \frac{\alpha}{1 + \delta^{**} \gamma^{** t}}$$

Při označení

- ▶  $\gamma^* = -\gamma$
- ▶  $\delta^* = \gamma\delta$
- ▶  $\gamma^{**} = e^{\gamma^*}$
- ▶  $\delta^{**} = e^{\delta^*}$

# Logistický trend – interpretace parametrů



- ▶  $\alpha$  ... asymptota
- ▶  $\delta$  ... čas nejrychlejšího růstu
- ▶  $\gamma$  ... konstanta určující měřítko  $x$ -ové osy

## Logistický trend – odvození

$$\frac{\partial Tr(t)}{\partial t} \propto Tr(t) \cdot [\alpha - Tr(t)]$$

Více viz *Vencálek, O: Stochastické modelování epidemií (DP)*

<https://is.cuni.cz/webapps/zzp/detail/44266/>

## Zobecněný logistický trend – Richardsova křivka

$$Tr(t) = \alpha \left[ 1 - (1 - \omega)e^{-\gamma(t-\delta)} \right]^{\frac{1}{1-\omega}}$$

Rychlost růstu:

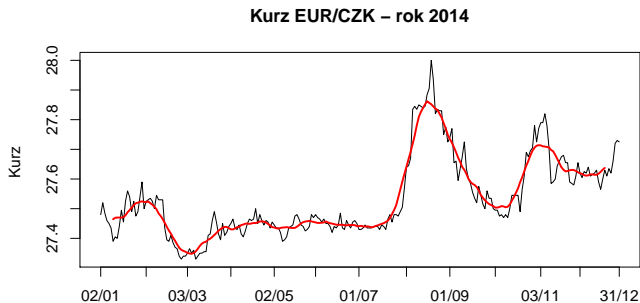
- ▶  $\omega < 2$  ... na počátku rychlý vzestup, pozvolný pokles na konci
- ▶  $\omega = 2$  ... stejně rychlý vzestup jako pokles (logistická křivka)
- ▶  $\omega > 2$  ... na počátku pozvolný nárůst, rychlý pokles na konci

Terminologická poznámka:

$\omega \rightarrow 1$ ... Gomperzova křivka,  $\omega = 0$ ... von Bertalanffyho křivka

Růstové křivky, S-křivky, sigmoidální křivky

# Metoda klouzavých průměrů



$$Tr(t) = \beta_0(t) + \beta_1(t)\tau + \dots + \beta_r(t)\tau^r, \quad \text{pro } \tau = t - m, \dots, t + m$$

# Kurz EUR/CZK

Data:

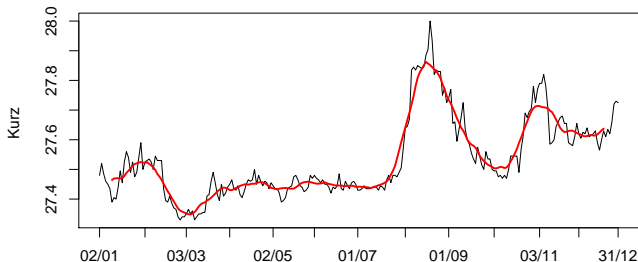
[https://www.cnb.cz/cs/financni\\_trhy/devizovy\\_trh/  
kurzy\\_devizoveho\\_trhu/vybrane\\_form.jsp](https://www.cnb.cz/cs/financni_trhy/devizovy_trh/kurzy_devizoveho_trhu/vybrane_form.jsp)



# Jednoduché (prosté) klouzavé průměry při délce okna 15



Kurz EUR/CZK – rok 2014



$m = 7$ , tj. délka okna  $2m + 1 = 15$ ,

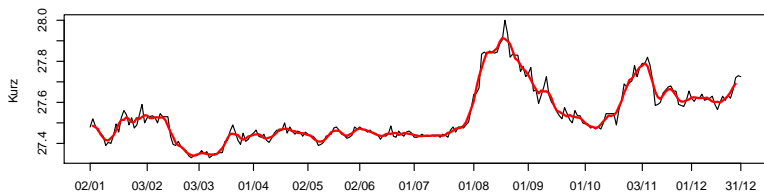
$r = 0$ , tj. lokálně konstantní trend,

pak  $\hat{y}_t = \frac{1}{2m+1} \sum_{\tau=-m}^m y_{t+\tau}$  pro  $t = m + 1, \dots, n - m$ .

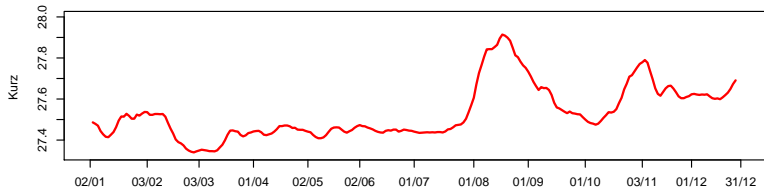
## Otázky k zodpovězení

- ▶ Jak volit délku okna, tj. jak volit  $m$ ? (délka okna je  $2m + 1$ )
- ▶ Může být délka okna sudá?
- ▶ Jak volit řád polynomu, kterým řadu lokálně prokládáme, tj. jak volit  $r$ ?
- ▶ Jak se vypořádat s počátečním a s koncovým úsekem řady a jak postupovat při predikci?

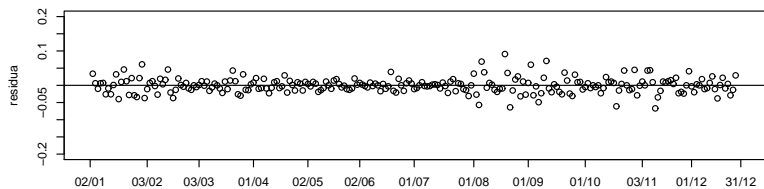
Kurz EUR/CZK – rok 2014



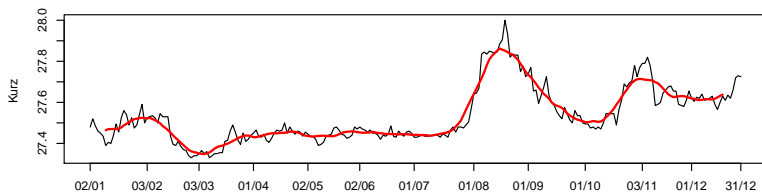
Klouzave prumery pri delce okna 5 (trend)



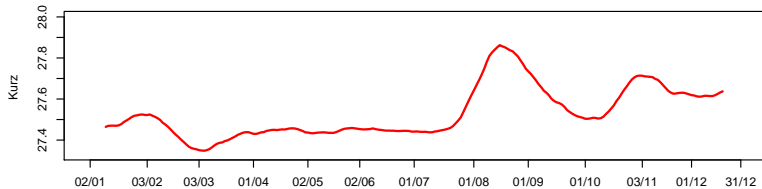
Residua



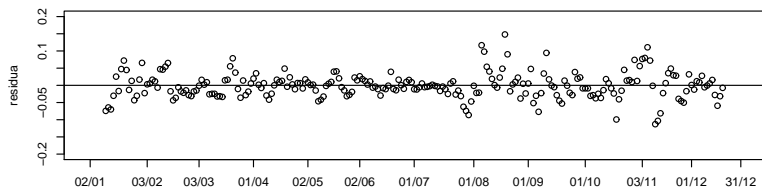
Kurz EUR/CZK – rok 2014



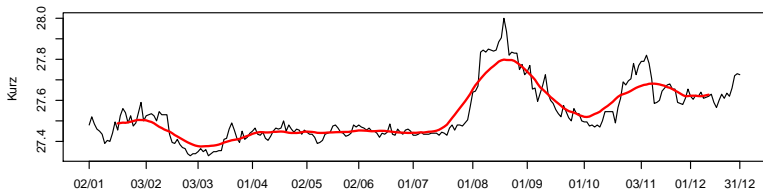
Klouzave prumery pri delce okna 15 (trend)



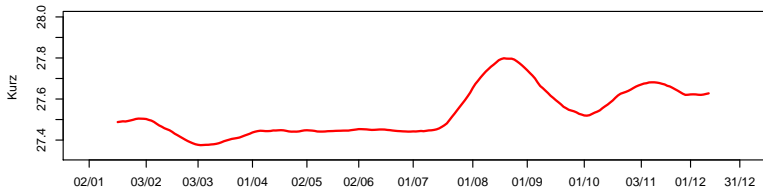
Residua



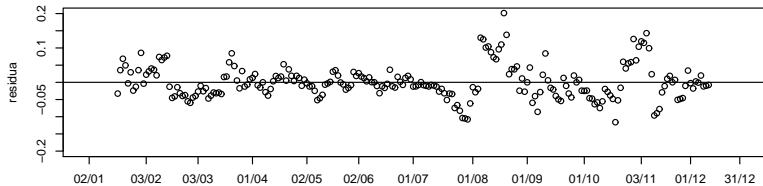
### Kurz EUR/CZK – rok 2014



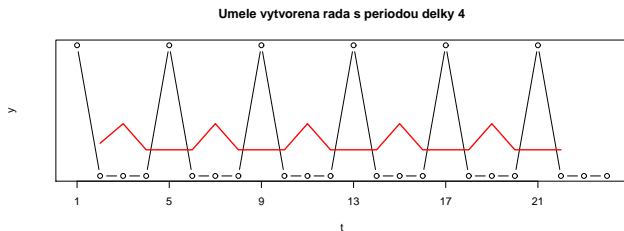
### Klouzave prumery pri delce okna 25 (trend)



### Residua



## Kdy potřebujeme sudou délku okna?



Obrázek: vyrovnaní časové řady s *konstantním* trendem a s délkou periody 4 pomocí klouz. průměrů při délce okna 5.

- ▶ Sudá délka periody → sudá délka okna
- ▶ Centrované klouzavé průměry

## Centrované klouzavé průměry

- ▶ Střed „prvního“ okna délky  $2m$  je v čase  $(1 + 2m)/2 = m + 0.5$ ,
- ▶ tj.  $\hat{y}_{m+0.5} = (y_1 + y_2 + \dots + y_{2m})/(2m)$ ,
- ▶ Střed „druhého“ okna délky  $2m$  je v čase  $(2 + 2m + 1)/2 = m + 1.5$ ,
- ▶ tj.  $\hat{y}_{m+1.5} = (y_2 + \dots + y_{2m} + y_{2m+1})/(2m)$ ,
- ▶  $\hat{y}_{m+1} = (\hat{y}_{m+0.5} + \hat{y}_{m+1.5})/2 =$   
 $\frac{1}{2m}y_1 + \frac{1}{m}y_2 + \frac{1}{m}y_3 + \dots + \frac{1}{m}y_{2m} + \frac{1}{2m}y_{2m+1}$ .

## Vážené klouzavé průměry

Dá se ukázat, že proložení polynomu vyššího stupně ( $r > 1$ ) je ekvivalentní výpočtu váženého průměru pozorování v okně. Váhy, které přitom dáváme jednotlivým pozorováním, je třeba dopočítat.

Příklad:

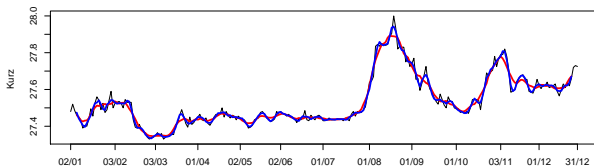
$m = 3, r = 2$ , tj. prokládáme parabolu (polynom 2. stupně) v okně délky  $2m + 1 = 7$ . Pak

$$\hat{y}_t = \frac{-2}{21}y_{t-3} + \frac{3}{21}y_{t-2} + \frac{6}{21}y_{t-1} + \frac{7}{21}y_t + \frac{6}{21}y_{t+1} + \frac{3}{21}y_{t+2} + \frac{-2}{21}y_{t+3}$$

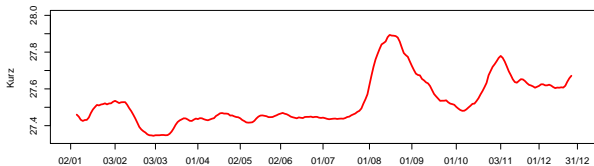


# Porovnání prostých a vážených průměrů při stejné délce okna 7

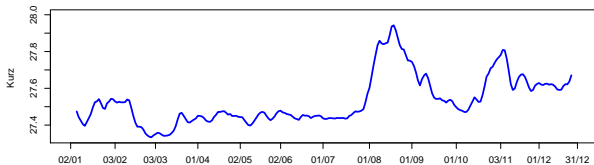
Kurz EUR/CZK – rok 2014



Proste klouzave prumery



Vazene klouzave prumery



## Jak se vypořádat s počátečním a s koncovým úsekem řady a jak postupovat při predikci?

„Zajedeme“ s oknem na začátek či na konec řady a tam proložíme příslušný polynom. (jako bychom zapomněli na všechna další pozorování kromě posledních (prvních)  $2m + 1$ , na nichž prokládáme příslušný polynom, který pak můžeme použít k predikci).

Pozor: čím vyšší stupeň polynomu, tím blíže jsou vyhlazené hodnoty skutečně pozorovaným hodnotám, ale pozor, predikce mohou být dosti nestabilní (viz varování týkající se predikce pomocí polynomu).

## Volba řádu použitého polynomu $r$

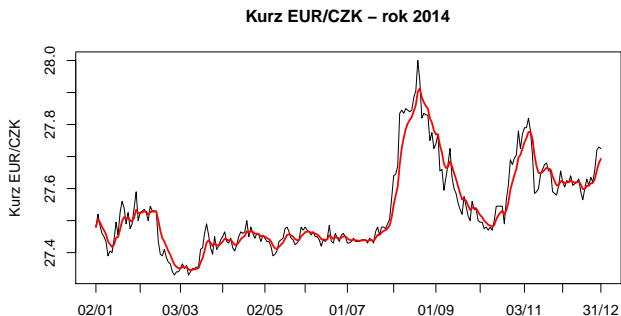
- ▶ *Cipra* popisuje „objektivní kritérium volby řádu klouzavých průměrů“ (str. 49-51),
- ▶ dodává však: „V poslední době se začínají také hledat numericky jednoduché metody, které by určily řád klouzavých průměrů jako hodnotu minimalizující vhodně zkonstruované kritérium“.

Poučení:

- ▶ Zkusme různé hodnoty pro  $r$  (řád polynomu):  $r = 0, 1, 2, 3$  a dívejme se, jak dobré budeme mít predikce. To můžeme zhodnotit např. pomocí
  - ▶ střední čtvercové chyby (MSE = Mean Squared Error)  
$$\sum_{t=1}^n (y_t - \hat{y}_t)^2 / n,$$
  - ▶ střední absolutní odchylky (MAD = Mean Absolute Deviation)  
$$\sum_{t=1}^n |y_t - \hat{y}_t| / n,$$

či jiné „ztrátové funkce“ odrážející „cenu chyby v předpovědi“. Vybereme tu hodnotu  $r$ , pro kterou jsou predikce nejlepší (mají nejnižší hodnotu některé z výše uvedených ztrátových funkcí).

# Exponenciální vyrovnávání



$Tr(t) = \beta_0(t)$  JEDNODUCHÉ EXP.VYROV.

$Tr(t) = \beta_0(t) + \beta_1(t)\tau$  pro  $\tau = -1, -2, \dots$  DVOJITÉ EXP.V.

# Exponenciální vyrovnávání – určení parametrů

Mějme dán pevně

- ▶ čas  $t$ , v němž se snažíme odhadnout hodnotu (lokál.) trendu,
- ▶ vyrovnávací konstantu  $\alpha \in (0, 1)$ .

Parametry  $\beta_0(t), \beta_1(t)$  popisující lokální trend určíme z rovnic

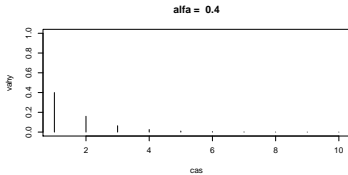
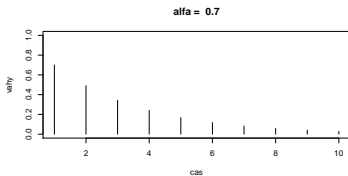
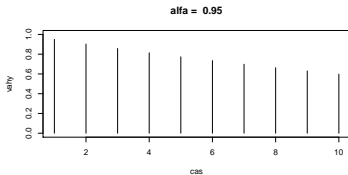
- ▶ Jednoduché exp. vyrovnávání

$$\min_{\beta_0(t)} \sum_{\tau=0}^{\infty} [y_{t-\tau} - \beta_0(t)]^2 \alpha^\tau$$

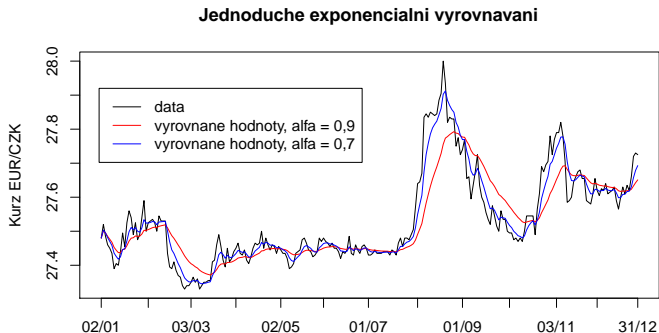
- ▶ Dvojité exp. vyrovnávání

$$\min_{\beta_0(t), \beta_1(t)} \sum_{\tau=0}^{\infty} [y_{t-\tau} - (\beta_0(t) + \beta_1(t)(-\tau))]^2 \alpha^\tau$$

# Exponenciální vyrovnávání – váhy

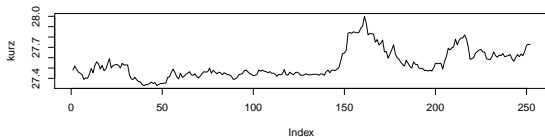


# Jednoduché exponenciální vyrovnání

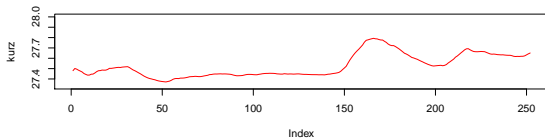


# Jednoduché exponenciální vyrovnávání

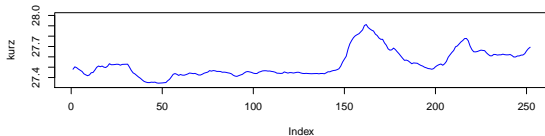
**původní data**



**vyrovnane hodnoty – jednoduche exp. vyrovnavani, alfa = 0,9**

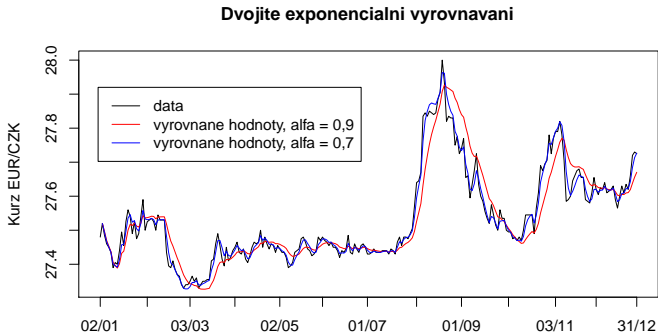


**vyrovnane hodnoty – jednoduche exp. vyrovnavani, alfa = 0,7**



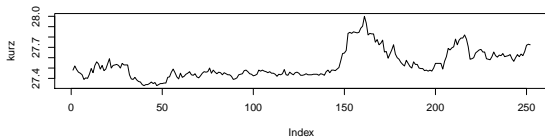


# Dvojité exponenciální vyrovnání

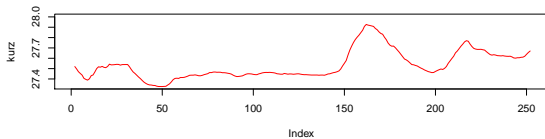


# Dvojité exponenciální vyrovnávání

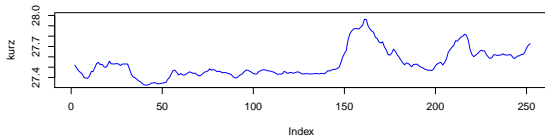
původní data



vyrovnane hodnoty – dvojitě exp. vyrovnávání, alfa = 0,9



vyrovnane hodnoty – dvojitě exp. vyrovnávání, alfa = 0,7



# Jednoduché exponenciální vyrovnávání

– rekurentní vztah pro odhad hodnot  $\beta_0(t)$

$$\min_{\beta_0(t)} \sum_{\tau=0}^{\infty} [y_{t-\tau} - \beta_0(t)]^2 \alpha^\tau$$

$$\frac{\partial}{\partial \beta_0(t)} \sum_{\tau=0}^{\infty} [y_{t-\tau} - \beta_0(t)]^2 \alpha^\tau = -2 \sum_{\tau=0}^{\infty} [y_{t-\tau} - \beta_0(t)] \alpha^\tau = 0$$

$$\sum_{\tau=0}^{\infty} y_{t-\tau} \alpha^\tau = \beta_0(t) \sum_{\tau=0}^{\infty} \alpha^\tau = \beta_0(t) \frac{1}{1-\alpha}$$

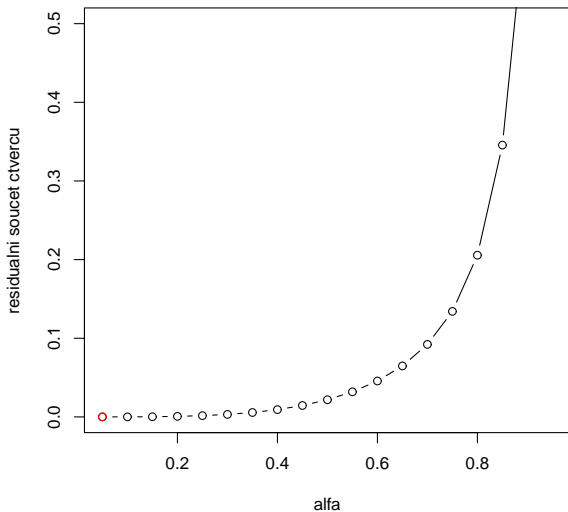
$$\begin{aligned} \beta_0(t) &= (1-\alpha) \sum_{\tau=0}^{\infty} y_{t-\tau} \alpha^\tau \\ &= (1-\alpha)y_t + (1-\alpha) \sum_{\tau=1}^{\infty} y_{t-\tau} \alpha^\tau \\ &= (1-\alpha)y_t + \alpha\beta_0(t-1) \end{aligned}$$

Poznámka:  $\beta_0(t) = \hat{y}_t$  (vyrovnaná hodnota)

Poznámka: Problém určení  $\hat{y}_0$

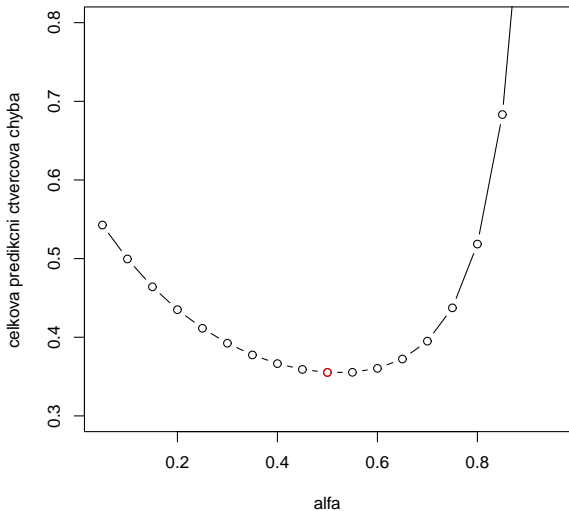
# Dvojité exponenciální vyrovnání – volba $\alpha$

Volba alfa – dvojitě e.v. – podle RSS



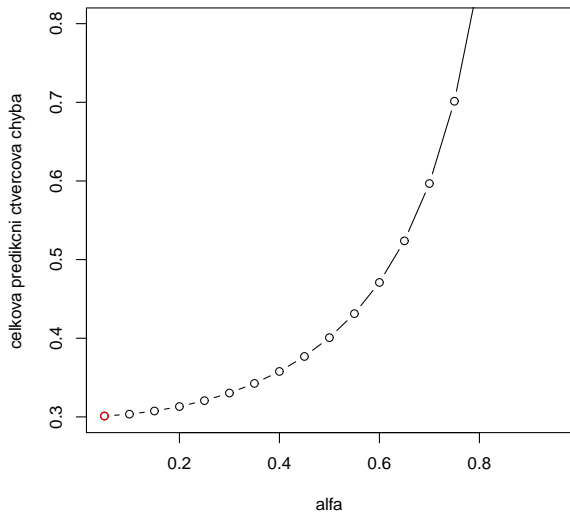
# Dvojité exponenciální vyrovnání – volba $\alpha$

Volba alfa – dvojitě e.v.



# Jednoduché exponenciální vyrovnávání – volba $\alpha$

Volba alfa – jednoduše e.v.



# Srovnání s cvičenou opicí

Co dělá cvičená opice: predikuje zítřejší hodnotu hodnotou z dneška.  
Celková čtvercová chyba predikce:

- ▶ exp. třídění s optimalizovanou volbou  $\alpha$ : 0,301
- ▶ cvičená opice: 0,300

**Závěr:** cvičená opice v tomto případě vítězí nad exponenciálním vyrovnáváním.

**Poučení:** ne vždy platí, že čím sofistikovanější metoda, tím lepší výsledek.

**Poznámka:** kdo umí v predikci kurzu výrazně porazit cvičenou opici, zbohatne.

# Teorie efektivních trhů

1965 – Eugene Fama (NC 2013)

Tzv. slabá forma teorie efektivních trhů říká, že na základě technické analýzy minulých statistických tvarů nelze ceny akcií na burze předvídat. „Grafářské techniky“ musejí tedy nevyhnutelně selhat.